

Information



K 561 IE 11 - 4bit Binärzähler

1/87 (10)

Herstellerland: UdSSR

Nicht für Geräteentwicklung
(siehe 3. Umschlagseite)

Übersetzung, bearb.

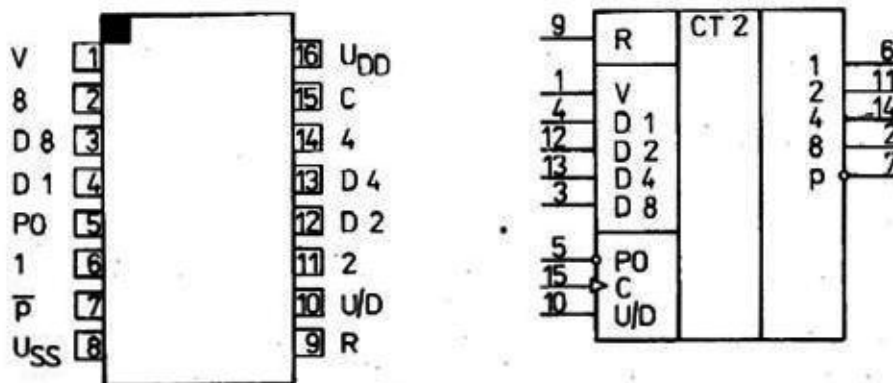


Bild 1: Anschlußbelegung und Schaltungskurzzeichen

Bezeichnung der Anschlüsse:

1	V	Ladeeingang	9	R	Rücksetzeingang
2	8	Binärausgang	10	U/D	Vorwärts/rückwärts
3	D 8	Vorstelleingang 4	11	2	Binärausgang
4	D 1	Vorstelleingang 1	12	D 2	Vorstelleingang 2
5	\overline{PO}	Chipaktivierungseingang	13	D 4	Vorstelleingang 3
6	1	Binärausgang	14	4	Binärausgang
7	\overline{P}	Übertragsausgang	15	C	Takteingang
8	U_{SS}	Bezugspotential	16	U_{DD}	Betriebsspannung

Chipaktivierungseingang	vorwärts/ rückwärts	Ladeeingang	Rücksetzeingang	Funktion
\overline{FO}	U/ \overline{D}	V	R	
1	x	0	0	nicht zählend
0	1	0	0	vorwärts zählen
0	0	0	0	rückwärts zählen
x	x	1	0	setzen
x	x	x	1	rücksetzen

Wahrheitstabelle K 561 IE 11

Beschreibung

Der K 561 IE 11 ist ein flankengesteuerter Vor-/Rückwärtszähler mit Takteingang (C), einem H-aktiven Vor- und Rückwärtseingang U/ \overline{D} (vorwärtzzählen = H-aktiv, rückwärtzzählen = L-aktiv), einem L-aktiven Chipaktivierungseingang (\overline{FO}), einem asynchron arbeitenden Setzeingang (V), 4 Paralleleingängen (D 1, D 2, D 4, D 8), 4 parallelen Ausgängen (1, 2, 4, 8) einen L-aktiven Übertragungseingang und einem asynchron arbeitenden RESET-Eingang (R).

Die Information an den Paralleleingängen (D 1, D 2, D 4, D 8) wird bei $\overline{FO} = L$ in den Zähler mit einem H-Impuls am Ladeeingang V übernommen, unabhängig von den übrigen Steuereingängen. Wenn der Ladeeingang V = L und der Chipaktivierungseingang $\overline{FO} = L$ sind, zählt der Zähler mit jeder L/H-Flanke am Takteingang C. Der Vor- und Rückwärtseingang legt die Zählrichtung fest: H für vorwärts zählen, L für rückwärts zählen. Beim Vorwärtzzählen wird der Übertragungsausgang $\overline{p} = L$, wenn die vier Ausgänge 1, 2, 4, und 8 = H und $\overline{FO} = L$ sind. Ein H-Impuls am Rücksetzeingang R setzt den Zähler zurück (1, 2, 4, 8 = L) unabhängig von allen anderen Eingangssignalen.

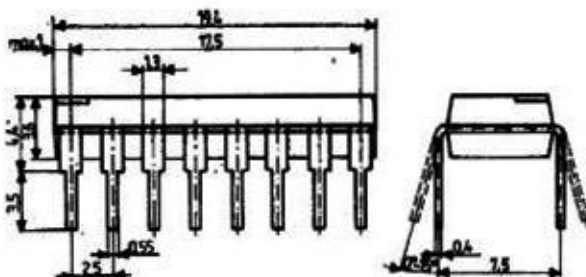


Bild 2; Gehäuseabmessungen

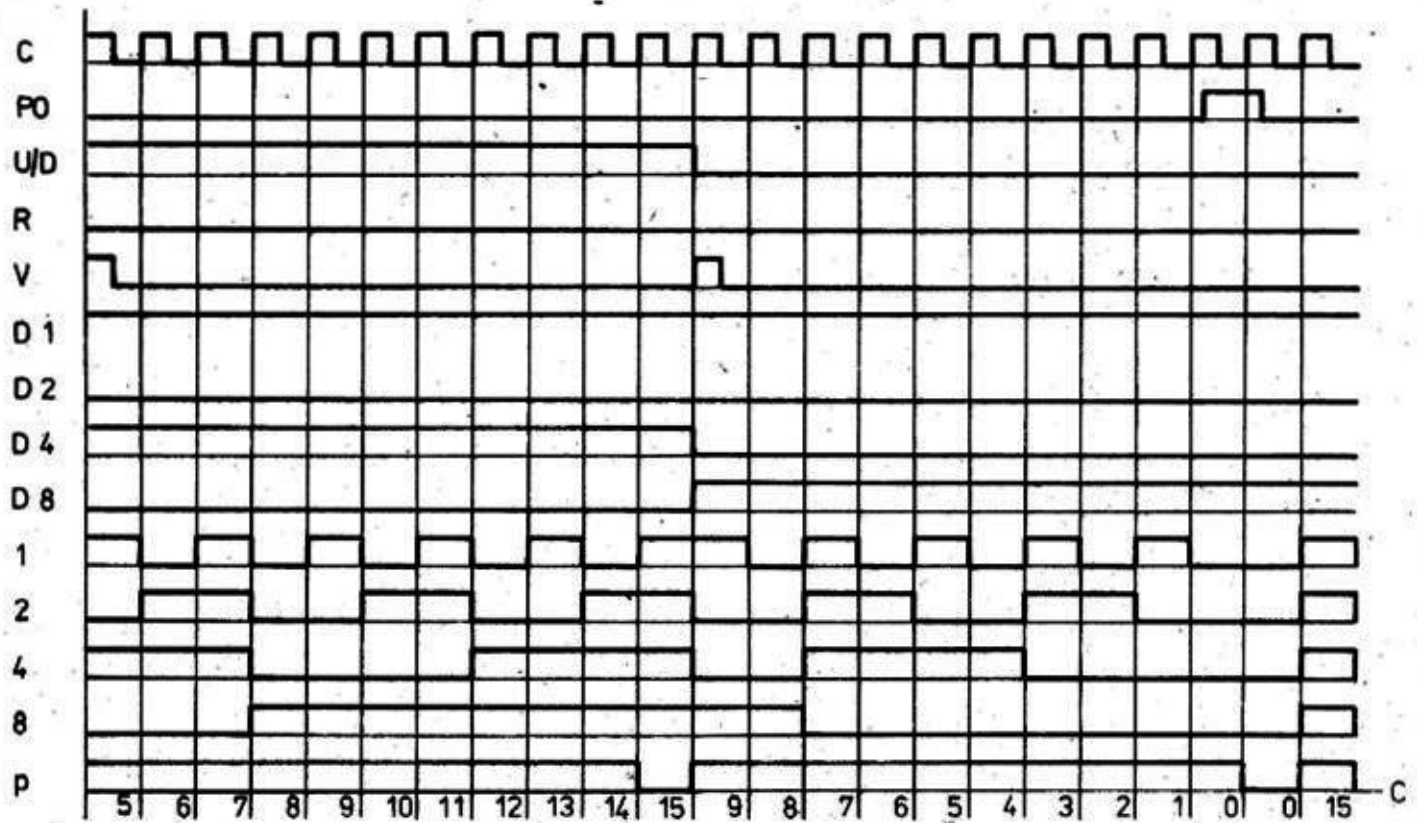


Bild 3: Taktdiagramm K 561 IE 11

Grenzwerte

Kennwert	Kurzzeichen	min.	max.	Einheit
Betriebsspannung	U_{DD}	-0,2	15	V
Eingangsspannung	U_I	-0,2	$U_{DD}+0,2$	V
Eingangsstrom	I		10	mA
Verlustleistung	P_{tot}		200	mW

Statische Kennwerte

Kennwert	Kurzzeichen	Meßbedingungen	min.	max.	Einheit
Betriebsspannung Eingangsreststrom	U_{DD}		3	15	V
	$-I_{IL};$	$U_{DD} = 15 \text{ V}; U_{IH} = 15 \text{ V};$ $U_{IL} = 0 \text{ V}; \vartheta_a = 25 \text{ }^\circ\text{C}$		0,3	μA
	I_{IH}	$U_{DD} = 15 \text{ V}; U_{IH} = 15 \text{ V};$ $U_{IL} = 0 \text{ V}; \vartheta_a = -45 \text{ }^\circ\text{C}$		0,3	μA
Stromaufnahme	I_{DD}	$U_{DD} = 15 \text{ V}; U_{IH} = 15 \text{ V};$ $U_{IL} = 0 \text{ V}; \vartheta_a = 85 \text{ }^\circ\text{C}$		1,0	μA
		$U_{DD} = 15 \text{ V}; U_{IH} = 15 \text{ V};$ $U_{IL} = 0 \text{ V}; \vartheta_a = 25 \text{ }^\circ\text{C}$		20	μA
		$U_{DD} = 15 \text{ V}; U_{IH} = 15 \text{ V};$ $U_{IL} = 0 \text{ V}; \vartheta_a = -45 \text{ }^\circ\text{C}$		20	μA
Ausgangsspannung L	U_{OL}	$U_{DD} = 15 \text{ V}; U_{IH} = 15 \text{ V};$ $U_{IL} = 0 \text{ V}; \vartheta_a = 85 \text{ }^\circ\text{C}$		200	μA
		$U_{DD} = 10 \text{ V}; U_{IL} = 0 \text{ V}; U_{IH} = 10 \text{ V}$ $U_{DD} = 5 \text{ V}; U_{IL} = 0 \text{ V}; U_{IH} = 5 \text{ V}$		0,05	V
				0,05	V
Ausgangsspannung H	U_{OH}	$U_{DD} = 10 \text{ V}; U_{IL} = 0 \text{ V}; U_{IH} = 10 \text{ V}$ $U_{DD} = 5 \text{ V}; U_{IL} = 0 \text{ V}; U_{IH} = 5 \text{ V}$	9,95 4,95		V V
Ausgangsstrom I	I_{OL}	$U_{DD} = 10 \text{ V}; U_{IH} = 10 \text{ V}; U_{IL} = 0 \text{ V};$ $U_{OL} = 0,5 \text{ V}; \vartheta_a = 25 \text{ }^\circ\text{C}$	0,9		mA
		$U_{DD} = 10 \text{ V}; U_{IH} = 10 \text{ V}; U_{IL} = 0 \text{ V};$ $U_{OL} = 0,5 \text{ V}; \vartheta_a = -45 \text{ }^\circ\text{C}$	1,05		mA
		$U_{DD} = 10 \text{ V}; U_{IH} = 10 \text{ V}; U_{IL} = 0 \text{ V};$ $U_{OL} = 0,5 \text{ V}; \vartheta_a = 85 \text{ }^\circ\text{C}$	0,65		mA
		$U_{DD} = 5 \text{ V}; U_{IH} = 5 \text{ V}; U_{IL} = 0 \text{ V};$ $U_{OL} = 0,4 \text{ V}; \vartheta_a = 25 \text{ }^\circ\text{C}$	0,4		mA
		$U_{DD} = 5 \text{ V}; U_{IH} = 5 \text{ V}; U_{IL} = 0 \text{ V};$ $U_{OL} = 0,4 \text{ V}; \vartheta_a = -45 \text{ }^\circ\text{C}$	0,48		mA
		$U_{DD} = 5 \text{ V}; U_{IH} = 5 \text{ V}; U_{IL} = 0 \text{ V};$ $U_{OL} = 0,4 \text{ V}; \vartheta_a = 85 \text{ }^\circ\text{C}$	0,28		mA
Ausgangsstrom II	I_{OH}	$U_{DD} = 10 \text{ V}; U_{IH} = 10 \text{ V}; U_{IL} = 0 \text{ V};$ $U_{OH} = 9,5 \text{ V}; \vartheta_a = 25 \text{ }^\circ\text{C}$	0,5		mA
		$U_{DD} = 10 \text{ V}; U_{IH} = 10 \text{ V}; U_{IL} = 0 \text{ V};$ $U_{OH} = 9,5 \text{ V}; \vartheta_a = -45 \text{ }^\circ\text{C}$	0,6		mA
		$U_{DD} = 10 \text{ V}; U_{IH} = 10 \text{ V}; U_{IL} = 0 \text{ V};$ $U_{OH} = 9,5 \text{ V}; \vartheta_a = 85 \text{ }^\circ\text{C}$	0,36		mA
		$U_{DD} = 5 \text{ V}; U_{IH} = 5 \text{ V}; U_{IL} = 0 \text{ V};$ $U_{OH} = 2,5 \text{ V}; \vartheta_a = 25 \text{ }^\circ\text{C}$	0,5		mA
		$U_{DD} = 5 \text{ V}; U_{IH} = 5 \text{ V}; U_{IL} = 0 \text{ V};$ $U_{OH} = 2,5 \text{ V}; \vartheta_a = -45 \text{ }^\circ\text{C}$	0,6		mA
		$U_{DD} = 5 \text{ V}; U_{IH} = 5 \text{ V}; U_{IL} = 0 \text{ V};$ $U_{OH} = 2,5 \text{ V}; \vartheta_a = 85 \text{ }^\circ\text{C}$	0,36		mA
Ausgangsspannung L bei kritischer Eingangsspannung	U_{OL}	$U_{CC} = 10 \text{ V}; U_{IH} = 7,0 \text{ V};$ $U_{IL} = 3,0 \text{ V}; \vartheta_a = 25 \text{ }^\circ\text{C}$		1	V
		$U_{CC} = 10 \text{ V}; U_{IH} = 7,1 \text{ V};$ $U_{IL} = 3,0 \text{ V}; \vartheta_a = -45 \text{ }^\circ\text{C}$		1	V

Kennwert	Kurzzeichen	Meßbedingungen	min.	max.	Einheit	
Ausgangsspannung L bei kritischer Eingangsspannung	U_{OL}	$U_{DD} = 10 \text{ V}; U_{IH} = 7,0 \text{ V}; U_{IL} = 2,9 \text{ V}; \vartheta_a = 85 \text{ }^\circ\text{C}$		1	V	
		$U_{DD} = 5 \text{ V}; U_{IH} = 3,5 \text{ V}; U_{IL} = 1,5 \text{ V}; \vartheta_a = 25 \text{ }^\circ\text{C}$		0,8	V	
		$U_{DD} = 5 \text{ V}; U_{IH} = 3,6 \text{ V}; U_{IL} = 1,5 \text{ V}; \vartheta_a = -45 \text{ }^\circ\text{C}$		0,8	V	
		$U_{DD} = 5 \text{ V}; U_{IH} = 3,5 \text{ V}; U_{IL} = 1,4 \text{ V}; \vartheta_a = 85 \text{ }^\circ\text{C}$		0,8	V	
Ausgangsspannung H bei kritischer Eingangsspannung	U_{OH}	$U_{DD} = 10 \text{ V}; U_{IH} = 7,0 \text{ V}; U_{IL} = 3,0 \text{ V}; \vartheta_a = 25 \text{ }^\circ\text{C}$	9,0		V	
		$U_{DD} = 10 \text{ V}; U_{IH} = 7,1 \text{ V}; U_{IL} = 3,0 \text{ V}; \vartheta_a = -45 \text{ }^\circ\text{C}$	9,0		V	
		$U_{DD} = 10 \text{ V}; U_{IH} = 7,0 \text{ V}; U_{IL} = 2,9 \text{ V}; \vartheta_a = 85 \text{ }^\circ\text{C}$	9,0		V	
		$U_{DD} = 5 \text{ V}; U_{IH} = 3,5 \text{ V}; U_{IL} = 1,5 \text{ V}; \vartheta_a = 25 \text{ }^\circ\text{C}$	4,2		V	
		$U_{DD} = 5 \text{ V}; U_{IH} = 3,6 \text{ V}; U_{IL} = 1,5 \text{ V}; \vartheta_a = -45 \text{ }^\circ\text{C}$	4,2		V	
		$U_{DD} = 5 \text{ V}; U_{IH} = 3,5 \text{ V}; U_{IL} = 1,4 \text{ V}; \vartheta_a = 85 \text{ }^\circ\text{C}$	4,2		V	

Dynamische Kennwerte

Kennwert	Kurzzeichen	Meßbedingungen	min.	max.	Einheit
Verzögerungszeit Takteingang \rightarrow Binärausgänge	$t_{PMH}; t_{PHL}$	$U_{DD} = 10 \text{ V}; U_{IH} = 10 \text{ V}; U_{IL} = 0 \text{ V}; C_L = 50 \text{ pF}; \vartheta_a = 25 \text{ }^\circ\text{C}$		300	ns
		$U_{DD} = 10 \text{ V}; U_{IH} = 10 \text{ V}; U_{IL} = 0 \text{ V}; C_L = 50 \text{ pF}; \vartheta_a = -45 \text{ }^\circ\text{C}$		300	ns
		$U_{DD} = 10 \text{ V}; U_{IH} = 10 \text{ V}; U_{IL} = 0 \text{ V}; C_L = 50 \text{ pF}; \vartheta_a = 85 \text{ }^\circ\text{C}$		420	ns
		$U_{DD} = 5 \text{ V}; U_{IH} = 5 \text{ V}; U_{IL} = 0 \text{ V}; C_L = 50 \text{ pF}; \vartheta_a = 25 \text{ }^\circ\text{C}$		830	ns
	$t_{PLH}; t_{PHL}$	$U_{DD} = 5 \text{ V}; U_{IH} = 5 \text{ V}; U_{IL} = 0 \text{ V}; C_L = 50 \text{ pF}; \vartheta_a = -45 \text{ }^\circ\text{C}$		830	ns
		$U_{DD} = 5 \text{ V}; U_{IH} = 5 \text{ V}; U_{IL} = 0 \text{ V}; C_L = 50 \text{ pF}; \vartheta_a = 85 \text{ }^\circ\text{C}$		1160	ns
		$U_{DD} = 10 \text{ V}; U_{IH} = 10 \text{ V}; U_{IL} = 0 \text{ V}; C_L = 50 \text{ pF}; \vartheta_a = 25 \text{ }^\circ\text{C}$		310	ns
		$U_{DD} = 10 \text{ V}; U_{IH} = 10 \text{ V}; U_{IL} = 0 \text{ V}; C_L = 50 \text{ pF}; \vartheta_a = -45 \text{ }^\circ\text{C}$		310	ns
Verzögerungszeit Takteingang \rightarrow P.	$t_{PLH}; t_{PHL}$	$U_{DD} = 10 \text{ V}; U_{IH} = 10 \text{ V}; U_{IL} = 0 \text{ V}; C_L = 50 \text{ pF}; \vartheta_a = 85 \text{ }^\circ\text{C}$		440	ns

Kennwert	Kurzzeichen	Meßbedingungen	min.	max.	Einheit
Verzögerungszeit Takteingang → P	t_{PLH} ; t_{PHL}	$U_{DD} = 5 \text{ V}; U_{IH} = 5 \text{ V}; U_{IL} = 0 \text{ V};$ $C_L = 50 \text{ pF}; \vartheta_a = 25 \text{ }^\circ\text{C}$		910	ns
		$U_{DD} = 5 \text{ V}; U_{IH} = 5 \text{ V}; U_{IL} = 0 \text{ V};$ $C_L = 50 \text{ pF}; \vartheta_a = -45 \text{ }^\circ\text{C}$		910	ns
		$U_{DD} = 5 \text{ V}; U_{IH} = 5 \text{ V}; U_{IL} = 0 \text{ V};$ $C_L = 50 \text{ pF}; \vartheta_a = 85 \text{ }^\circ\text{C}$		1270	ns
Verzögerungszeit Chipaktivierungs- eingang → Übertragsausgang	t_{PLH} ; t_{PHL}	$U_{DD} = 10 \text{ V}; U_{IH} = 10 \text{ V}; U_{IL} = 0 \text{ V};$ $C_L = 50 \text{ pF}; \vartheta_a = 25 \text{ }^\circ\text{C}$		170	ns
		$U_{DD} = 10 \text{ V}; U_{IH} = 10 \text{ V}; U_{IL} = 0 \text{ V};$ $C_L = 50 \text{ pF}; \vartheta_a = -45 \text{ }^\circ\text{C}$		170	ns
		$U_{DD} = 10 \text{ V}; U_{IH} = 10 \text{ V}; U_{IL} = 0 \text{ V};$ $C_L = 50 \text{ pF}; \vartheta_a = 85 \text{ }^\circ\text{C}$		240	ns
		$U_{DD} = 5 \text{ V}; U_{IH} = 5 \text{ V}; U_{IL} = 0 \text{ V};$ $C_L = 50 \text{ pF}; \vartheta_a = 25 \text{ }^\circ\text{C}$		410	ns
		$U_{DD} = 5 \text{ V}; U_{IH} = 5 \text{ V}; U_{IL} = 0 \text{ V};$ $C_L = 50 \text{ pF}; \vartheta_a = -45 \text{ }^\circ\text{C}$		410	ns
		$U_{DD} = 5 \text{ V}; U_{IH} = 5 \text{ V}; U_{IL} = 0 \text{ V};$ $C_L = 50 \text{ pF}; \vartheta_a = 85 \text{ }^\circ\text{C}$		570	ns
		$U_{DD} = 5 \text{ V}; U_{IH} = 5 \text{ V}; U_{IL} = 0 \text{ V};$ $C_L = 50 \text{ pF}; \vartheta_a = 25 \text{ }^\circ\text{C}$		400	ns
Verzögerungszeit Ladeeingang → P	t_{PLH} ; t_{PHL}	$U_{DD} = 10 \text{ V}; U_{IH} = 10 \text{ V}; U_{IL} = 0 \text{ V};$ $C_L = 50 \text{ pF}; \vartheta_a = 25 \text{ }^\circ\text{C}$		400	ns
		$U_{DD} = 10 \text{ V}; U_{IH} = 10 \text{ V}; U_{IL} = 0 \text{ V};$ $C_L = 50 \text{ pF}; \vartheta_a = -45 \text{ }^\circ\text{C}$		400	ns
		$U_{DD} = 10 \text{ V}; U_{IH} = 10 \text{ V}; U_{IL} = 0 \text{ V};$ $C_L = 50 \text{ pF}; \vartheta_a = 85 \text{ }^\circ\text{C}$		560	ns
		$U_{DD} = 5 \text{ V}; U_{IH} = 5 \text{ V}; U_{IL} = 0 \text{ V};$ $C_L = 50 \text{ pF}; \vartheta_a = -45 \text{ }^\circ\text{C}$		1200	ns
		$U_{DD} = 5 \text{ V}; U_{IH} = 5 \text{ V}; U_{IL} = 0 \text{ V};$ $C_L = 50 \text{ pF}; \vartheta_a = 25 \text{ }^\circ\text{C}$		1200	ns
		$U_{DD} = 5 \text{ V}; U_{IH} = 5 \text{ V}; U_{IL} = 0 \text{ V};$ $C_L = 50 \text{ pF}; \vartheta_a = 85 \text{ }^\circ\text{C}$		1680	ns
		$U_{DD} = 5 \text{ V}; U_{IH} = 5 \text{ V}; U_{IL} = 0 \text{ V};$ $C_L = 50 \text{ pF}; \vartheta_a = 25 \text{ }^\circ\text{C}$		280	ns
Verzögerungszeit V → 1,2,4,8	t_{PLH} ; t_{PHL}	$U_{DD} = 10 \text{ V}; U_{IH} = 10 \text{ V}; U_{IL} = 0 \text{ V};$ $C_L = 50 \text{ pF}; \vartheta_a = 25 \text{ }^\circ\text{C}$		280	ns
		$U_{DD} = 10 \text{ V}; U_{IH} = 10 \text{ V}; U_{IL} = 0 \text{ V};$ $C_L = 50 \text{ pF}; \vartheta_a = -45 \text{ }^\circ\text{C}$		280	ns
		$U_{DD} = 10 \text{ V}; U_{IH} = 10 \text{ V}; U_{IL} = 0 \text{ V};$ $C_L = 50 \text{ pF}; \vartheta_a = 85 \text{ }^\circ\text{C}$		390	ns
		$U_{DD} = 5 \text{ V}; U_{IH} = 5 \text{ V}; U_{IL} = 0 \text{ V};$ $C_L = 50 \text{ pF}; \vartheta_a = 25 \text{ }^\circ\text{C}$		780	ns
		$U_{DD} = 5 \text{ V}; U_{IH} = 5 \text{ V}; U_{IL} = 0 \text{ V};$ $C_L = 50 \text{ pF}; \vartheta_a = -45 \text{ }^\circ\text{C}$		780	ns
		$U_{DD} = 5 \text{ V}; U_{IH} = 5 \text{ V}; U_{IL} = 0 \text{ V};$ $C_L = 50 \text{ pF}; \vartheta_a = 85 \text{ }^\circ\text{C}$		1090	ns
		$U_{DD} = 5 \text{ V}; U_{IH} = 5 \text{ V}; U_{IL} = 0 \text{ V};$ $C_L = 50 \text{ pF}; \vartheta_a = 25 \text{ }^\circ\text{C}$		1090	ns

Kennwert	Kurzzeichen	Meßbedingungen	min.	max.	Einheit
Ausgangskapazität Impulsbreite R, V	C_O t_w	$U_{DD} = 10 \text{ V}; C_L = 15 \text{ pF}$ $U_{DD} = 5 \text{ V}; C_L = 15 \text{ pF}$	160 330	15	pF ns ns

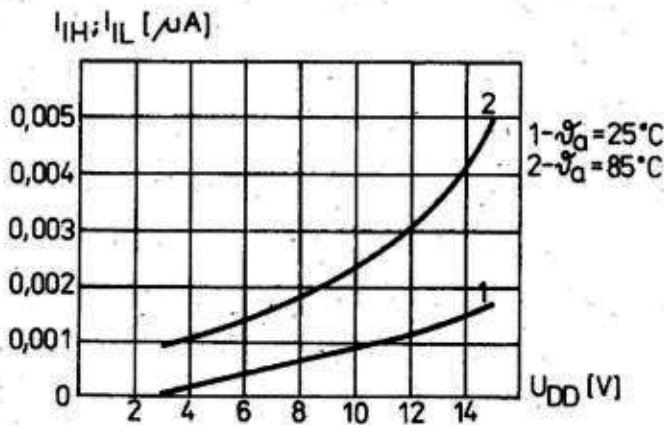


Bild 4: Typische Abhängigkeit des Eingangsreststromes von der Betriebsspannung

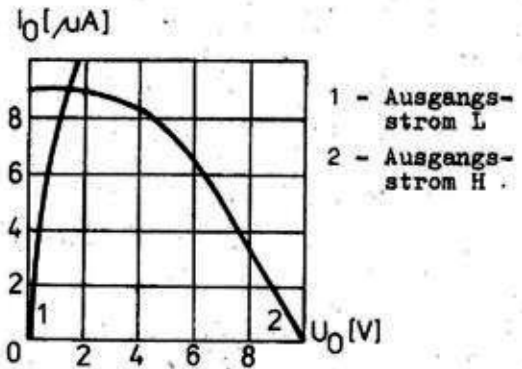


Bild 5: Typische Ausgangscharakteristik bei einer Betriebsspannung von 10 V und einer Temperatur von 25 °C

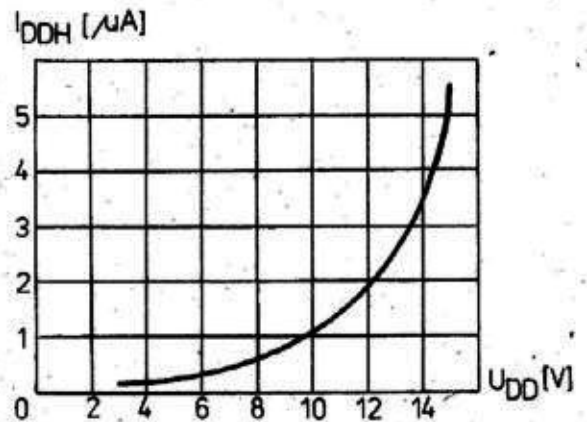
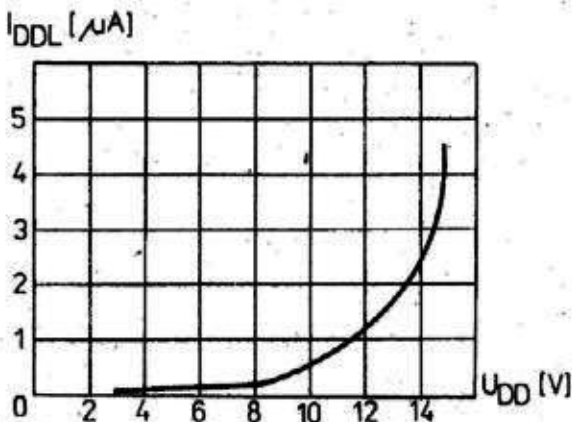


Bild 6: Typische Abhängigkeit der Stromaufnahme I_{DD} im L- und H-Zustand von der Betriebsspannung U_{DD} bei 25 °C

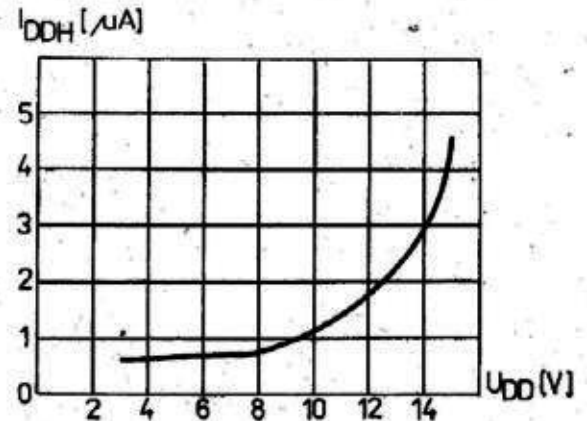
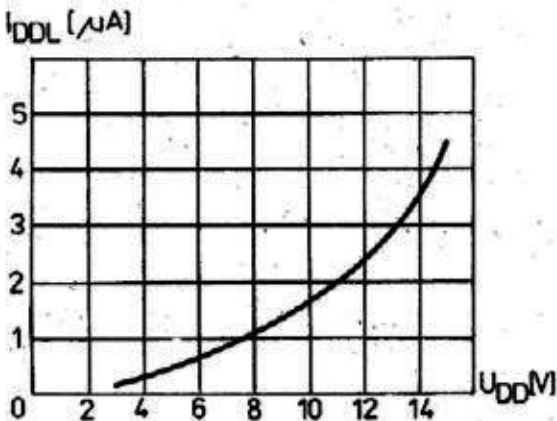


Bild 7: Typische Abhängigkeit der Stromaufnahme I_{DD} im L- und H-Zustand von der Betriebsspannung U_{DD} bei 85 °C

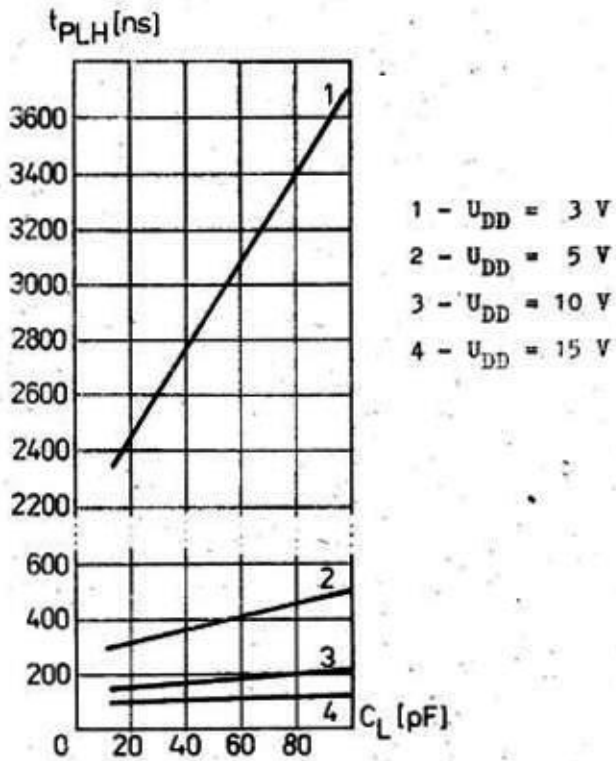


Bild 8: Typische Abhängigkeit der Verzögerungszeit V zu p von der Lastkapazität und der Betriebsspannung bei $\vartheta_a = 25 \text{ }^\circ\text{C}$

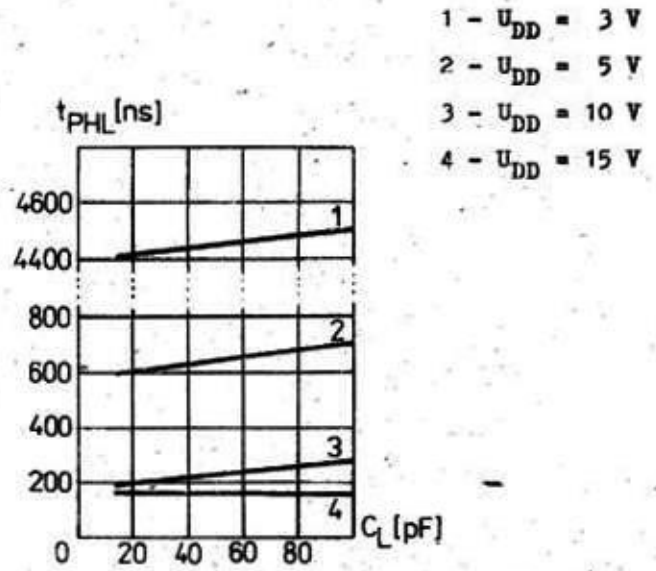


Bild 9: Typische Abhängigkeit der Verzögerungszeit V zu p von der Lastkapazität und der Betriebsspannung bei $\vartheta_a = 25 \text{ }^\circ\text{C}$

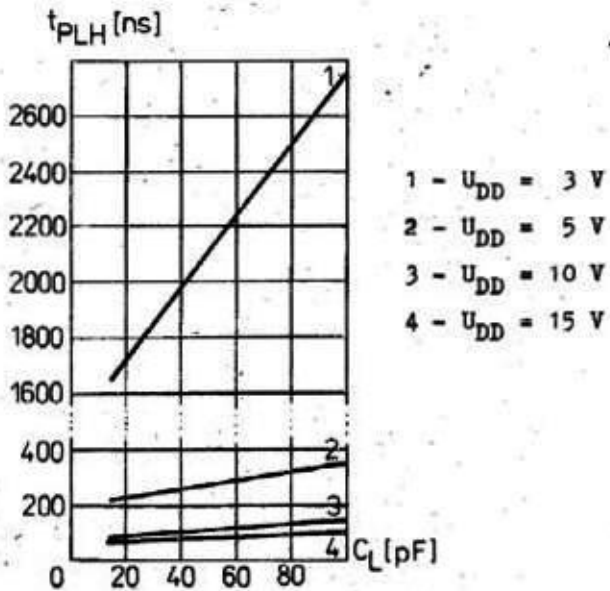


Bild 10: Typ. Abhängigkeit der Verzögerungszeit C zu Binärausgänge von der Lastkapazität und der Betriebsspannung bei $\vartheta_a = 25 \text{ }^\circ\text{C}$

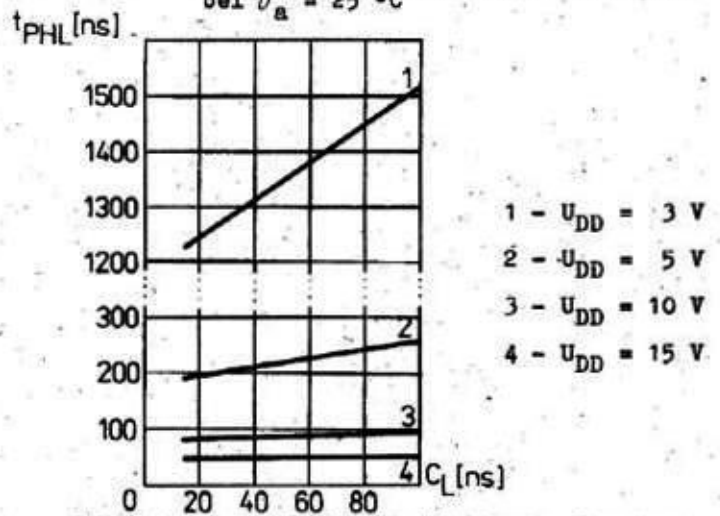


Bild 11: Typische Abhängigkeit der Verzögerungszeit C zu Binärausgänge von der Lastkapazität und der Betriebsspannung bei $\vartheta_a = 25 \text{ }^\circ\text{C}$

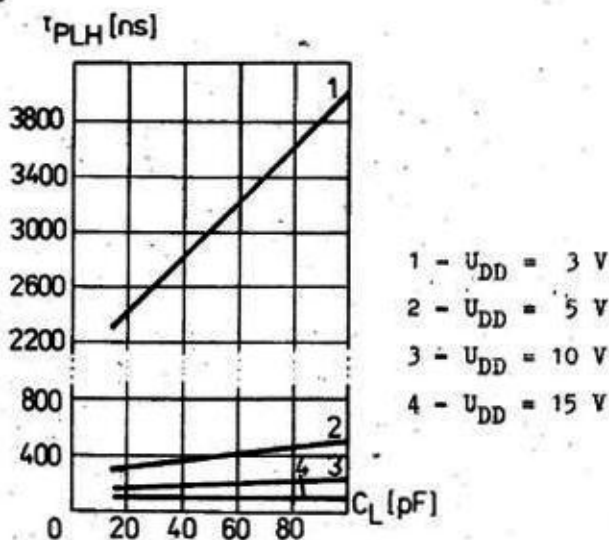


Bild 12: Typische Abhängigkeit der Verzögerungszeit C zu p von der Lastkapazität und der Betriebsspannung bei $\vartheta_a = 25$ °C

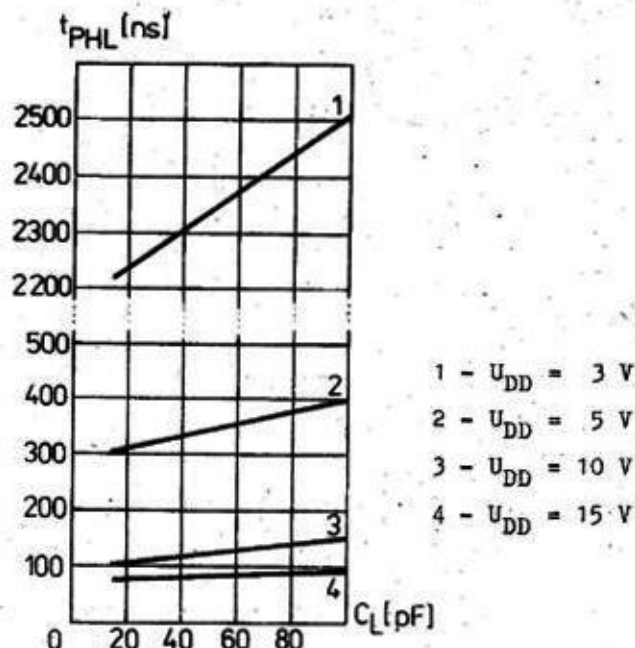


Bild 13: Typische Abhängigkeit der Verzögerungszeit C zu p von der Lastkapazität und der Betriebsspannung bei $\vartheta_a = 25$ °C

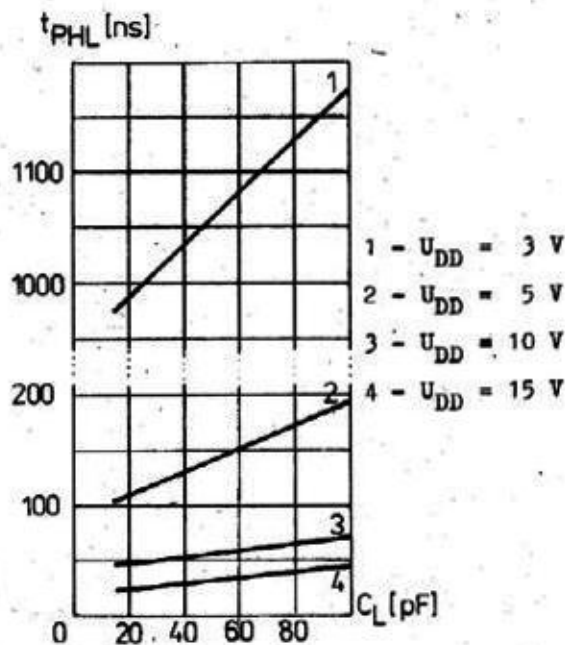


Bild 14: Typische Abhängigkeit der Verzögerungszeit PO zu p von der Lastkapazität und der Betriebsspannung bei $\vartheta_a = 25$ °C

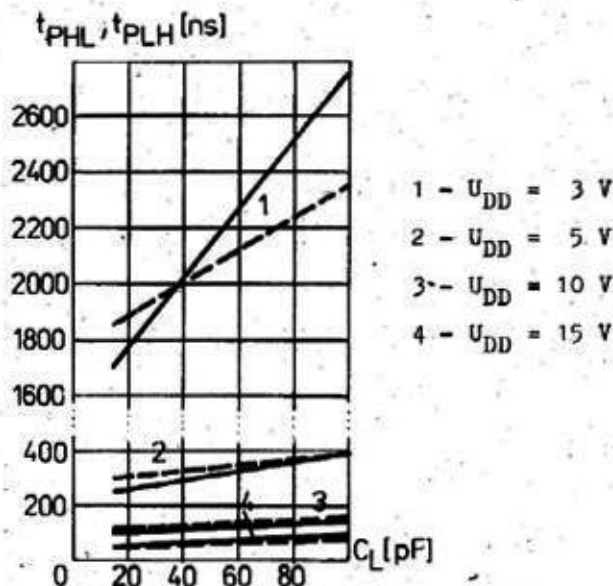


Bild 15: Typische Abhängigkeit der Verzögerungszeit V zu Binärausgänge von der Lastkapazität und der Betriebsspannung bei $\vartheta_a = 25$ °C

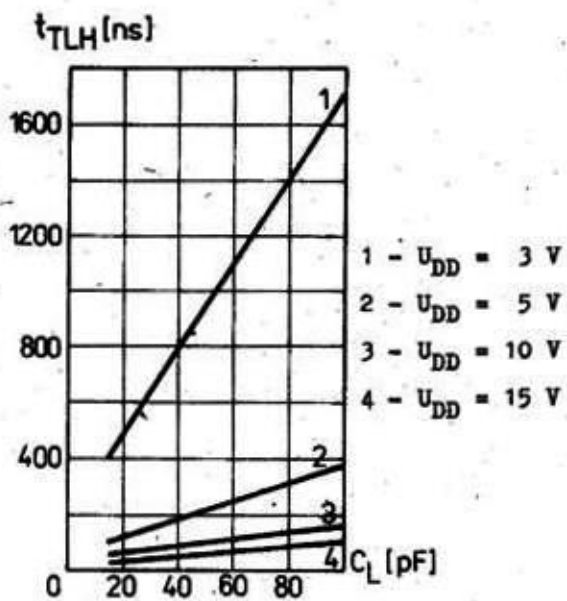


Bild 16: Typische Abhängigkeit der Übergangszeit von der Lastkapazität bei $\vartheta_a = 25\text{ °C}$

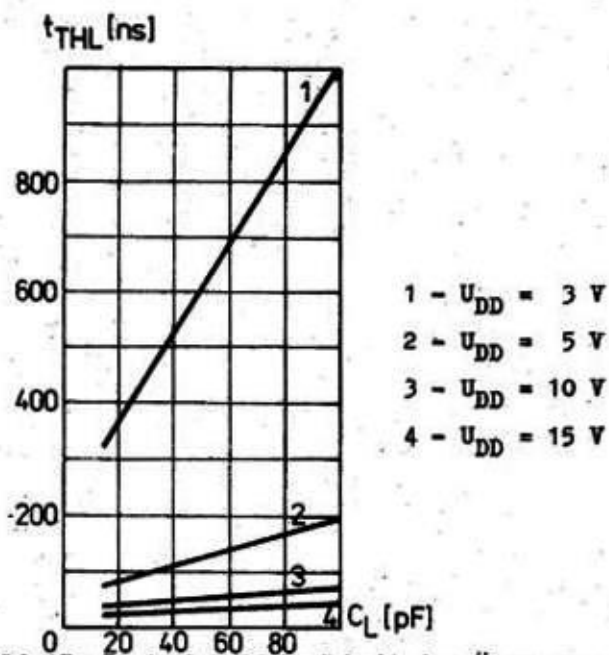


Bild 17: Typische Abhängigkeit der Übergangszeit von der Lastkapazität bei $\vartheta_a = 25\text{ °C}$

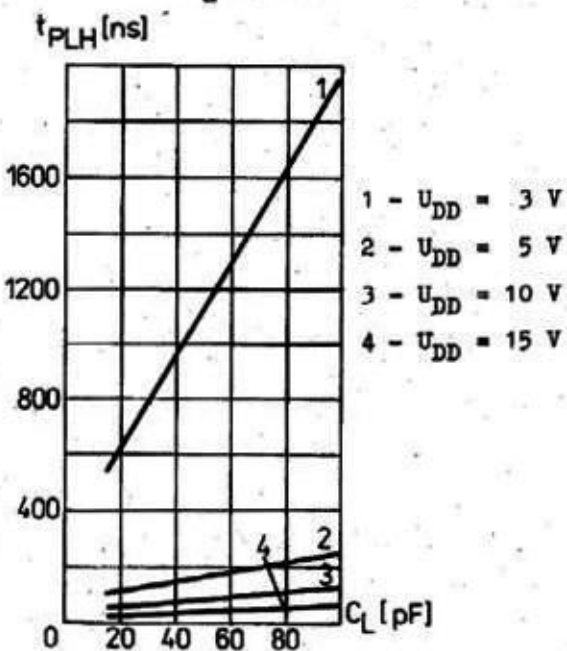


Bild 18: Typische Abhängigkeit der Verzögerungszeit PO zu p von der Lastkapazität und der Betriebsspannung bei $\vartheta_a = 25\text{ °C}$

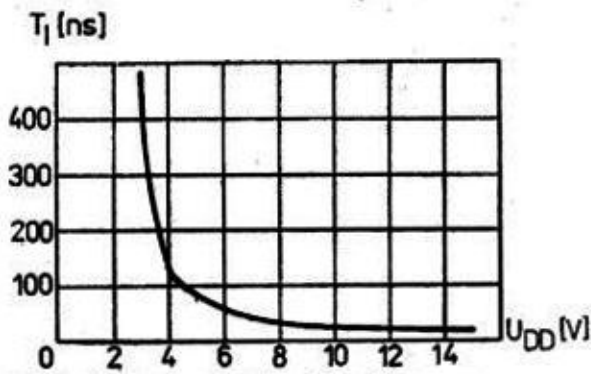


Bild 19: Typ. Abhängigkeit der min. Impulslänge des Zähleringanges von der Betriebsspannung bei $\vartheta_a = 25^\circ\text{C}$

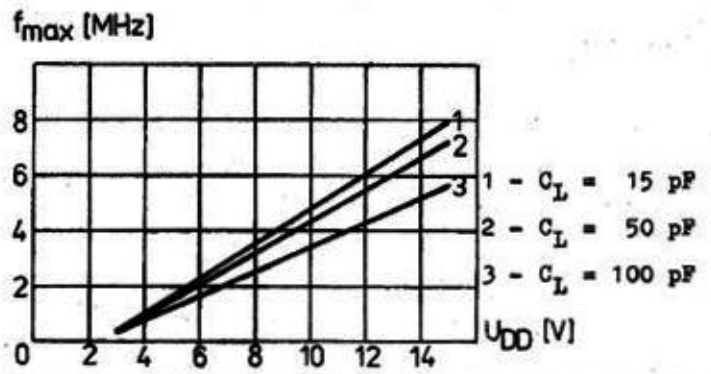


Bild 20: Abhängigkeit der Grenzfrequenz von der Betriebsspannung und der Lastkapazität bei $\vartheta_a = 25^\circ\text{C}$

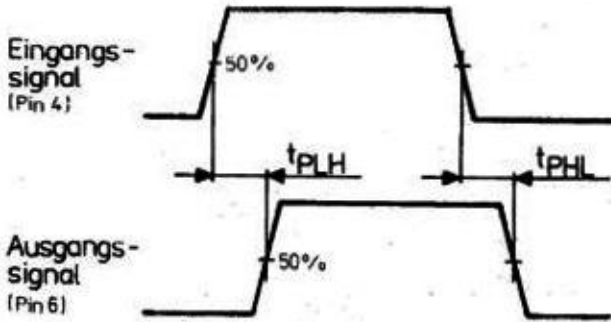


Bild 21: Impulsdiagramm Verzögerungszeiten Chipaktivierungseingang zum Übertragsausgang

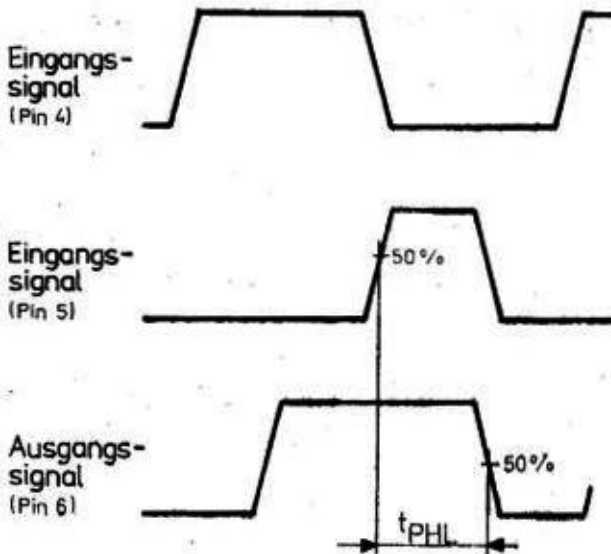


Bild 22: Impulsdiagramm Verzögerungszeit Ladeeingang zu Binärausgängen

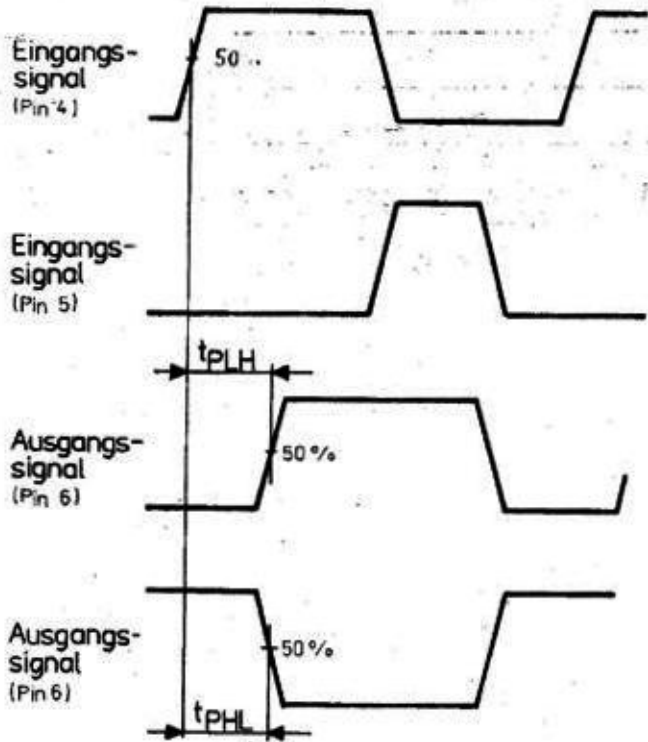


Bild 23: Impulsdiagramm Verzögerungszeit Takteingang zu Binärausgängen, Takteing. zu Übertragsausg., Ladeeing. zu Binärausg., Ladeeing. zu Übertragsausg.

Literatur

TU 11 - 80 Mikroschemy K 561 IM 1, K 561 IE 11, technitscheskie uslovja

(TU 11 - 80 Mikroschaltkreis K 561 IM 1, K 561 IE 11, technische Bedingungen vom 01.06.1980)

Die vorliegenden Datenblätter dienen ausschließlich der Information! Es können daraus keine Liefermöglichkeiten oder Produktionsverbindlichkeiten abgeleitet werden. Änderungen im Sinne des technischen Fortschritts sind vorbehalten.

RFT

Herausgeber:

veb applikationszentrum elektronik berlin
im veb kombinat mikroelektronik

Mainzer Straße 25

Berlin 1035

Telefon: 5 80 05 21, Telex: 011 2981; 011 3055